

محاسبه تغییرات چگالی میانگین سیال محدود شده با برهمکنش یوکاوا

محمدرضا جلالی* / مسعود کاوش تهرانی**

چکیده

در روش شبیه‌سازی رایانه‌ای برای بررسی ساختار سیالات، لازم است که چگالی میانگین سیال را بدانیم تا از روی آن تعداد ذرات در هر سلول شبیه‌سازی شده را محاسبه کنیم. در این مقاله با استفاده از روش کیم که ترکیب دو روش تقریب چگالی وزنی تارازونا و تقریب MHNC است و توسط ریکیزن و آگوستی در نظریه تابعی چگالی ارائه شده است، چگالی میانگین برای سیال یوکاوا محدود شده بین دو دیوار تخت و موازی در دو حالت، یکی با برهمکنش دیوار سخت و دیگری با برهمکنش جاذبه‌ای یوکاوا در دماهای مختلف محاسبه و با یکدیگر مقایسه شده است.

کلید واژه

۱. روش معادلات انتگرالی: این روش در دهه‌های

نظریه تابعی چگالی، چگالی میانگین، سیال یوکاوا.

مقدمه

۷۰ و ۸۰ میلادی کاربرد وسیعی داشته و به تدریج جای خود را به روشهای دیگر داده است (۴).

۲. نظریه تابعی چگالی: امروزه این روش از روش معادلات انتگرالی پیشی گرفته و جهت بررسی خواص سیالات ناهمگن شامل مرز مشترک جامد-مایع، گاز-مایع،

وجود پتانسیل خارجی در یک دستگاه بس ذره‌ای باعث برهم زدن توزیع یکنواخت ذرات در آن دستگاه می‌شود. برای بررسی چنین دستگاه غیریکنواختی روشهای متعددی وجود دارد. سه روش عمده جهت بررسی ساختار سیالات ناهمگن وجود دارد، که عبارت است از:

است. با کمینه کردن پتانسیل بزرگ نسبت به چگالی خواهیم داشت:

$$\ln[\Lambda^3 \rho(\mathbf{r})] + \beta \frac{\delta F_{ex}[\rho]}{\delta \rho(\mathbf{r})} + \beta[U(\mathbf{r}) - \mu] = 0 \quad (2)$$

با استفاده از تعریف تابع همبسته مستقیم تک ذره ای برای سیال ناهمگن مطابق زیر خواهیم داشت:

$$C^{(1)}(\mathbf{r};[\rho]) = -\beta \frac{\delta F_{ex}[\rho]}{\delta \rho(\mathbf{r})} \quad (3)$$

$$\rho(\mathbf{r}) = \Lambda^{-3} e^{\beta\mu} \exp[-\beta U(\mathbf{r}) + C^{(1)}(\mathbf{r};[\rho])]$$

برای چگالی حالت کپه ای، ρ_0 ، معادله به صورت زیر خواهد بود:

$$\rho_0 = \Lambda^{-3} e^{\beta\mu} \exp[C^{(1)}(\rho_0)] \quad (5)$$

که در اینجا $C^{(1)}(\rho_0)$ تابع همبسته مستقیم تک ذره ای برای سیال همگن است. با ترکیب دو معادله فوق خواهیم داشت:

$$\rho(\mathbf{r}) = \rho_0 \exp[-\beta U(\mathbf{r}) + C^{(1)}(\mathbf{r};[\rho]) - C^{(1)}(\rho_0)] \quad (6)$$

برای محاسبه نمایه چگالی، پتانسیل خارجی و تابع همبسته مستقیم تک ذره ای نیاز است. در این روش تابع همبسته مستقیم تک ذره ای و پتانسیل خارجی را به دو قسمت کره سخت (hs) و قسمت جاذبه ای، (att) تقسیم می کنیم (۱،۵).

$$\rho(\mathbf{r}) = \rho_0 \exp[-\beta U_{hs}(\mathbf{r}) + C_{hs}^{(1)}(\mathbf{r};[\rho]) - C_{hs}^{(1)}(\rho_0)] \times \exp[-\beta U_{att}(\mathbf{r}) + C_{att}^{(1)}(\mathbf{r};[\rho]) - C_{att}^{(1)}(\rho_0)] \quad (7)$$

در اینجا، برای قسمت کره سخت از تقریب چگالی وزنی تارازونا که نتایج قابل قبولی برای سیال کره سخت دارد (۱۰) و برای قسمت جاذبه ای از تقریبی که ریکیزن و آگوستی آن را توسعه داده اند (۹) استفاده می کنیم. در تقریب چگالی وزنی تارازونا تابع همبسته مستقیم سیال کره سخت از رابطه زیر به دست می آید.

$$(8)$$

گذارهای فاز، لایه های نازک و بررسی ذرات کلوئیدی معلق در سیال کاربرد وسیعی پیدا کرده است (۲،۵).

۳. روش شبیه سازی رایانه ای: این روش به عنوان یک روش نیمه تجربی در بررسی سیالات ناهمگن به کار می رود. در روش شبیه سازی رایانه ای لازم است که چگالی میانگین مایع را بدانیم تا از روی آن تعداد ذرات در هر سلول شبیه سازی شده را محاسبه کنیم (۱۱).

در این مقاله دستگامی را در نظر می گیریم که در آن دو صفحه موازی و متناهی را در حجم بزرگی از سیال فرو برده ایم، به طوری که دو دیوار کاملاً در مایع فرو رفته باشند. بدین ترتیب مایع محدود شده بین دو دیوار با توده مایع کاملاً در ارتباط است. این دستگاه در بررسی لایه های نازک، چسبندگی مایعات و مباحث الکتروشمی دارای کاربردهای مهمی است (۳). با استفاده از آنسامل کانونی بزرگ در نظریه تابعی چگالی به ساختار این دستگاه می توان پی برد. برای تعیین چگالی میانگین نیاز به نمایه چگالی است. برای حل این مسئله از روش کیم که ترکیب دو روش تقریب چگالی وزنی تارازونا و تقریب MHNC است استفاده شد (۵).

نظریه تابعی چگالی کیم

در این مسئله ذرات سیال با برهمکنش یوکاوا را بین دو دیوار تخت و موازی که به فاصله h از یکدیگر قرار گرفته اند، در نظر می گیریم. براساس نظریه تابعی چگالی، پتانسیل بزرگ دستگاه را می توان به صورت زیر نوشت:

$$\Omega[\rho] = F_{ex}[\rho] + \int_{\mathcal{V}} d\mathbf{r} \rho(\mathbf{r}) [U(\mathbf{r}) - \mu] + \beta^{-1} \int_{\mathcal{V}} d\mathbf{r} \rho(\mathbf{r}) \{ \ln[\Lambda^3 \rho(\mathbf{r})] - 1 \} \quad (1)$$

که در آن $F_{ex}[\rho]$ انرژی آزاد اضافی ناشی از برهمکنش بین ذرات دستگاه است. $U(\mathbf{r})$ پتانسیل خارجی، μ پتانسیل شیمیایی تعادلی، $\beta = 1/k_B T$ و Λ طول موج دو بروی

$$C_{att}^{(1)}(\mathbf{r};[\rho]) = C_{att}^{(1)}(\rho_0) + \int ds C_{att}^{(1)}(\mathbf{r}-\mathbf{s};\rho_0)[\rho(\mathbf{s})-\rho_0] + \frac{1}{V} \int dt C_{att}^{(1)}(\mathbf{r},\mathbf{s},t,\rho_0)[\rho(\mathbf{s})-\rho_0][\rho(t)-\rho_0] + \dots$$

در این تقریب نیاز به تابع همبسته مستقیم دو و سه ذره‌ای است. برای تابع همبسته مستقیم دو ذره‌ای داریم:

$$C_{att}^{(2)}(\mathbf{r};\rho_0) = C_{Yu}^{(2)}(\mathbf{r};\rho_0) - C_{hs}^{(2)}(\mathbf{r};\rho_0) \quad (15)$$

که در اینجا $C_{hs}^{(2)}(\mathbf{r};\rho_0)$ تابع همبسته مستقیم دو ذره‌ای کره سخت است که با استفاده از تقریب PY مطابق زیر به دست می‌آید (۶):

$$C_{hs}^{(2)}(\mathbf{r};\rho_0) = \begin{cases} -\frac{(1+\eta)^2}{(1-\eta)^2} + \frac{\eta(1+\eta)^2 r}{(1-\eta)^2 \sigma} - \frac{\eta(1+\eta)^2 r^2}{(1-\eta)^2 \sigma^2} & r < \sigma \\ 0 & r > \sigma \end{cases} \quad (16)$$

$C_{Yu}^{(2)}(\mathbf{r};\rho_0)$ تابع همبسته مستقیم دو ذره‌ای سیال یوکاوا است و با استفاده از تقریب کره میانگین که دارای نتایج کاملاً خوبی است، مطابق زیر به دست می‌آید (۸):

$$C_{Yu}^{(2)}(\mathbf{r};\rho_0) = \begin{cases} a - br/\sigma - \eta ar^3/2\sigma^3 - v\sigma[1 - \exp(-\lambda r/\sigma)]/\lambda r - v^2\sigma[\cosh(\lambda r/\sigma) - 1]/[2r\beta\epsilon_r \lambda^2 \exp(\lambda)] & r < \sigma \\ \beta\epsilon_r \sigma \exp[-\lambda(r-\sigma)/\sigma]/r & r > \sigma \end{cases}$$

در اینجا ضرایب a ، b و v و غیره پارامترهایی هستند که در مرجع (۸) آمده است. در تقریب چگالی تابعی ریکیزن تابع همبسته سه‌ذره‌ای به صورت ساده زیر در نظر گرفته شده است (۶):

$$C_{att}^{(3)}(\mathbf{r},\mathbf{s},t,\rho_0) = B \left(\frac{6}{\pi\sigma^3} \right) \int du \theta \left(\frac{\sigma}{2} - |r-u| \right) \theta \left(\frac{\sigma}{2} - |s-u| \right) \theta \left(\frac{\sigma}{2} - |t-u| \right) = BL_1$$

که $\theta(x)$ تابع هویساید پله‌ای و B ثابتی است که مطابق زیر به گونه‌ای انتخاب می‌گردد که فشار صحیح کپه‌ای در معادله حالت برای سیال همگن را ارائه دهد:

$$C(\mathbf{r},\mathbf{r}\phi) = -\frac{\gamma \Delta\psi(\rho_0)}{k_B T} \frac{\delta\bar{\rho}(\mathbf{r})}{\delta\rho(\mathbf{r}\phi)} \Big|_{\rho_0} - \frac{\Delta\psi(\rho_0)\rho_0}{k_B T} \int d\mathbf{r}\phi \frac{\delta\bar{\rho}(\mathbf{r}\phi)}{\delta\rho(\mathbf{r})} \Big|_{\rho_0} \frac{\delta\bar{\rho}(\mathbf{r}\phi)}{\delta\rho(\mathbf{r}\phi)} \Big|_{\rho_0} - \frac{\Delta\psi(\rho_0)\rho_0}{k_B T} \int d\mathbf{r}\phi \frac{\delta^2\bar{\rho}(\mathbf{r}\phi)}{\delta\rho(\mathbf{r}\phi)\delta\rho(\mathbf{r}\phi)}$$

که در اینجا:

$$\psi(\rho_0) = \frac{\int \psi}{\int \bar{\rho}(\mathbf{r})} \Big|_{\bar{\rho}(\mathbf{r})=\rho_0}, \quad \psi''(\rho_0) = \frac{\int \psi''}{\int [\bar{\rho}(\mathbf{r})]^2} \Big|_{\bar{\rho}(\mathbf{r})=\rho_0}$$

و انرژی آزاد اضافی بر ذره است که می‌توان آن را از معادله حالت کارنهان استرلینگ مطابق رابطه زیر به دست آورد:

$$\beta\psi = \frac{\eta(4-3\eta)}{(1-\eta)^2} \quad (10)$$

در اینجا $\eta = \pi\rho\sigma^3/6$ و σ قطر کره سخت است. ترازونا برای جلوگیری از تغییرات شدید در چگالی و رسیدن به نتایج مناسب، چگالی میانگین محلی را مطابق زیر تعریف کرد:

$$\bar{\rho}(\mathbf{r}) = \int d\mathbf{r}' \rho(\mathbf{r}') w(|\mathbf{r}-\mathbf{r}'|; \bar{\rho}(\mathbf{r})) \quad (11)$$

که در اینجا تابع وزنی w ، خود نیز تابعی از چگالی میانگین محلی است و مطابق زیر تعریف می‌شود:

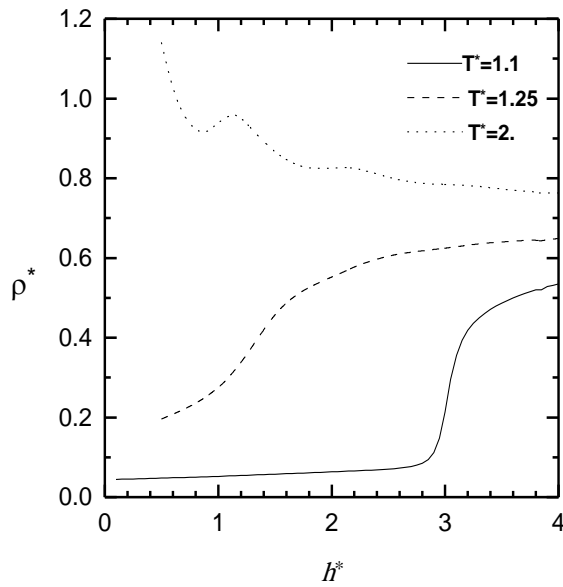
$$w(\mathbf{r},\rho) = w_0(\mathbf{r}) + w_1(\mathbf{r})\rho + w_2(\mathbf{r})\rho^2 + \dots \quad (12)$$

مقادیر $w_i(\mathbf{r})$ ها در مرجع (۷) داده شده است. به این ترتیب معادله (۷) به صورت زیر در خواهد آمد:

$$\rho(\mathbf{r}) = \rho_0 \exp \left\{ -\beta \left[\Delta\psi(\bar{\rho}(\mathbf{r})) + \int d\mathbf{r}' \rho(\mathbf{r}') \Delta\psi(\bar{\rho}(\mathbf{r}')) \frac{\delta\bar{\rho}(\mathbf{r}')}{\delta\rho(\mathbf{r})} - \Delta\psi(\rho_0) - \Delta\psi''(\rho_0)\rho \right] \right\}$$

(قسمت جانبی ای)

در تقریب نظریه MHNC، ریکیزن تابع همبسته مستقیم تک‌ذره‌ای را بسط تیلور تابعی داد و تا جمله مرتبه دوم را از این بسط را نگه داشت:



شکل ۱. تغییرات چگالی میانگین کاهش یافته $\rho^* = \bar{\rho}(h)\sigma^3$ برحسب فاصله کاهش یافته برای چگالی کپه‌ای کاهش یافته ۰.۷ در دماهای مختلف کاهش یافته برای سیال یوکاوا در مجاورت دیوار تخت و سخت.

همچنان‌که در شکل ۱ مشاهده می‌شود برای برهم‌کنش سیال یوکاوا با دیوار سخت، چگالی میانگین وابسته به دما است و با افزایش دما، چگالی میانگین افزایش می‌یابد. اما با افزایش فاصله دو دیوار تمامی آنها به سمت مقدار کپه‌ای میل می‌کنند که نشانگر کاهش اثرات پتانسیل دیوار بر روی سیال است. از دیگر نتایج به‌دست آمده، نوسانی شدن تغییرات چگالی میانگین با افزایش دما است. در اینجا برای دمای کاهش یافته ۲ درجه سانتی‌گراد پیشینه‌هایی در چگالی میانگین در نقاطی تقریباً برابر قطر سیال یوکاوا مشاهده می‌گردد. در شکل (۲) چگالی میانگین سیال یوکاوا در مجاورت دیوار با پتانسیل جاذبه‌ای برحسب فاصله کاهش یافته، $h^* = h/\sigma$ ، رسم شده است.

$$B = \frac{\rho_0^2 \beta \Delta \Psi(\rho_0) + \rho_0 - 0.5 \rho_0^2 \int_{\text{aff}}^{(2)} dr C_{\text{aff}}^{(2)}(r; \rho_0) - \beta P}{\rho_0^3 L_1} \quad (19)$$

با ترکیب روابط (۱۴) تا (۱۹) و قرار دادن آنها در قسمت جاذبه‌ای رابطه (۱۳) و حل عددی آن می‌توان نمایه چگالی را که دارای نتایج قابل قبولی نسبت به روشهای دیگر است و با شبیه‌سازی رایانه‌ای تطابق خوبی دارد، به دست آورد (۱).

بحث و نتیجه

در اینجا با حل عددی رابطه (۱۳) نمایه چگالی برای فواصل مختلف دو دیوار (h) محاسبه شده است. با داشتن نمایه چگالی می‌توان از رابطه زیر چگالی میانگین را به دست آورد:

$$\bar{\rho}(h) = \frac{1}{h} \int_0^h \rho(z) dz \quad (20)$$

چگالی میانگین سیال یوکاوا محدود شده بین دو دیوار تخت، با پتانسیل سخت:

$$U_{\text{ext}}(z) = \begin{cases} 0 & z > 0 \\ = \infty & z < 0 \end{cases} \quad (21)$$

و بین دو دیوار تخت با پتانسیل جاذبه‌ای است:

$$U_{\text{ext}}(z) = \begin{cases} 0 & z > 0 \\ = -\beta \varepsilon_w \exp(-\lambda z / \sigma) & z < 0 \end{cases} \quad (22)$$

به ازای چگالی کپه‌ای کاهش یافته $\rho_0^* = \rho_0 \sigma^3 = 0.7$

در دماهای کاهش یافته $T^* = 1/\beta \varepsilon_f$ ، ۱، ۱.۲۵ و ۲ محاسبه و با یکدیگر مقایسه شده است.

میانگین به سمت چگالی کپه‌ای میل می‌کند. در اینجا برای هر سه دمای کاهش یافته فرم نوسانی چگالی میانگین در نقاطی تقریباً برابر قطر سیال یوکاوا مشاهده می‌گردد. این بیشینه‌ها ناشی از اثرات ابعاد ذرات است که در تقریب تارازونا مد نظر قرار گرفته شده است.

منابع

۱. کاوش تهرانی، مسعود، (۱۳۸۱) مقاله نامه «کنفرانس فیزیک ایران»، زنجان؛

۲. مرادی، محمود و کاوش تهرانی، مسعود (۱۳۷۹)، مجله پژوهش فیزیک ایران؛

3. Choudhury, N. and Ghosh, S. K. (1997), *J. Chem. Phys.* 106, 1576;

4. Evans, R. (1992), *Inhomogeneous Fluid*;

5. Young-Wha, K.; Soon-Chul, K. (1998), *J. Korean Physics Soc*;

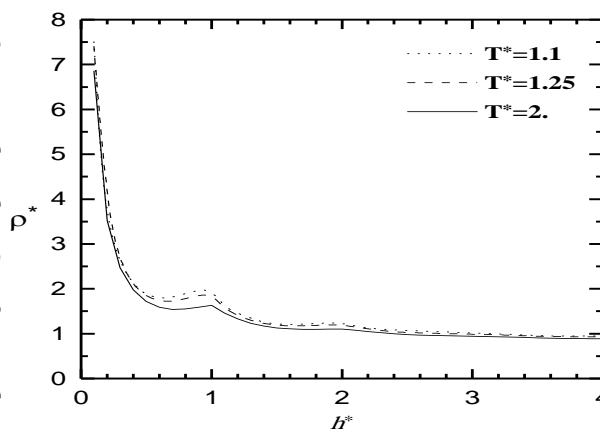
6. Moradi, M. and Kavosh Tehrani, M., (1999) *Can. J. Phys*;

7. Olivares-Rivas, W., Degreve, L., Henderson, D. and Quintana, J. (1997), *J. Chem. Phys.* 106, 8160;

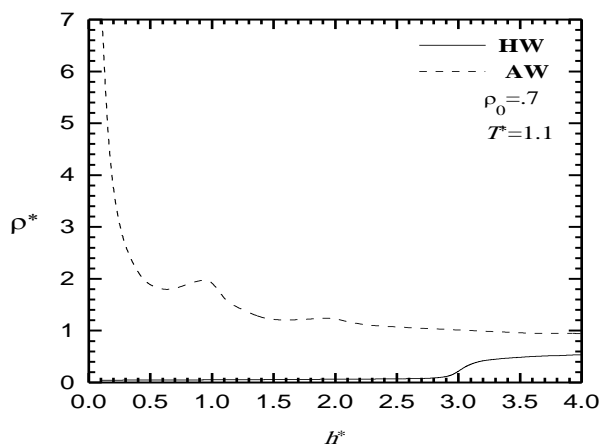
8. Rickayzen, G. and Augousti (1984), A., *Mol. Phys.* 52, 1355;

9. Tarazona, P. (1985), *Phys. Rev. A*, 31, 2673;

10. Van Megen, W. J. and Snook, I. K. (1981), *J. Chem Phys.* 74, 1409. ■



شکل ۲. مطابق شکل ۱، اما برای سیال یوکاوا در مجاورت دیوار تخت با پتانسیل جاذبه‌ای



شکل ۳. تغییرات چگالی میانگین کاهش یافته بر حسب فاصله کاهش یافته برای چگالی کپه‌ای $\rho_0 = 0.7$ در دمای کاهش یافته $1/1$ خط پیوسته مربوط به دیوار سخت (HW) و خط چین مربوط به دیوار جاذبه‌ای (AW) است.

با توجه به شکلهای ۲ و ۳ مشاهده می‌گردد که اثرات پتانسیل جاذبه‌ای بسیار شدیدتر از اثرات دما بر روی چگالی میانگین است. با افزایش فاصله بین دو دیوار اثرات پتانسیل جاذبه‌ای دیوار کاهش یافته و چگالی